

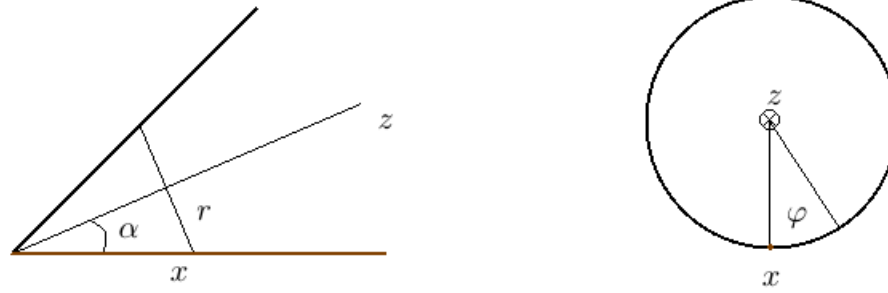
# Symulacja komputerowa ruchu ciała w układzie z więzami.

Paweł Rzońca

14 grudnia 2015

## Wstęp

Rozwiążemy problem poruszania się punktu materialnego po powierzchni stożka o kącie rozwarcia  $2\alpha$  (rys. 1) położonego na poziomej płaszczyźnie.



Rysunek 1: Ilustracja sytuacji

Funkcja Lagrange'a w takim przypadku, przy założeniu więzu  $r = z \tan \alpha$ , ma postać

$$\mathcal{L} = \frac{1}{2} \left( \tan^2 \alpha z^2 \omega^2 + \frac{1}{\cos^2 \alpha} v^2 \right) - gz \sin \alpha (1 - \cos \varphi), \quad (1)$$

gdzie  $\omega = \dot{\varphi}$  oraz  $v = \dot{z}$ . Wykonując odpowiednie óźniczki otrzymujemy następujące równania ruchu

$$\ddot{\varphi} = -\frac{g \cos^2 \alpha \sin \varphi}{\sin \alpha} \frac{1}{z} - \frac{2\dot{z}\dot{\varphi}}{z} \quad (2)$$

$$\ddot{z} = \sin^2 \alpha z \dot{\varphi}^2 - g \sin \alpha \cos^2 \alpha (1 - \cos \varphi). \quad (3)$$

Energię całkowitą układu definiujemy przez

$$E = \dot{\vec{q}} \cdot \frac{\partial \mathcal{L}}{\partial \dot{\vec{q}}} - \mathcal{L}, \quad (4)$$

gdzie  $\dot{\vec{q}}$  jest prędkością uogólnioną. W tymże układzie

$$E = \frac{1}{2} \left( \tan^2 \alpha z^2 \omega^2 + \frac{1}{\cos^2 \alpha} v^2 \right) + gz \sin \alpha (1 - \cos \varphi). \quad (5)$$

## Metodyka

Aby rozwiązać układ równań 2 i drugiego stopnia przerabiamy go na układ czterech równań pierwszego stopnia wprowadzając prędkości. Otrzymujemy:

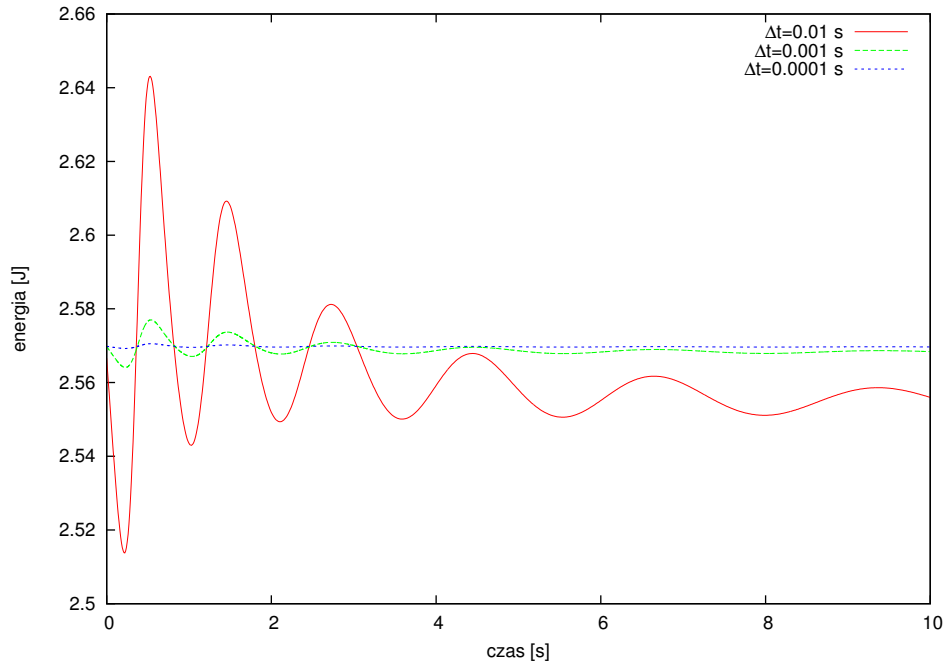
$$\begin{aligned}\dot{\varphi} &= \omega \\ \dot{z} &= v \\ \dot{\omega} &= -\frac{g \cos^2 \alpha \sin \varphi}{\sin \alpha} \frac{z}{z_i} - \frac{2v\omega}{z} \\ \dot{v} &= \sin^2 \alpha z \omega^2 - g \sin \alpha \cos^2 \alpha (1 - \cos \varphi)\end{aligned}$$

W programie podajemy parametr  $\alpha$  oraz warunki początkowe. W kolejnych chwilach czasu liczymy iteracyjnie:

$$\begin{aligned}\omega_{i+1} &= \omega_i - \left( \frac{g \cos^2 \alpha \sin \varphi_i}{\sin \alpha} \frac{z_i}{z_i} + \frac{2v_i \omega_i}{z_i} \right) \Delta t \\ v_{i+1} &= v_i + [\sin^2 \alpha z_i \omega_i^2 - g \sin \alpha \cos^2 \alpha (1 - \cos \alpha)] \Delta t \\ \varphi_{i+1} &= \varphi_i + \omega \Delta t \\ z_{i+1} &= z_i + v \Delta t \\ t_{i+1} &= t_i + \Delta t\end{aligned}$$

## Wyniki

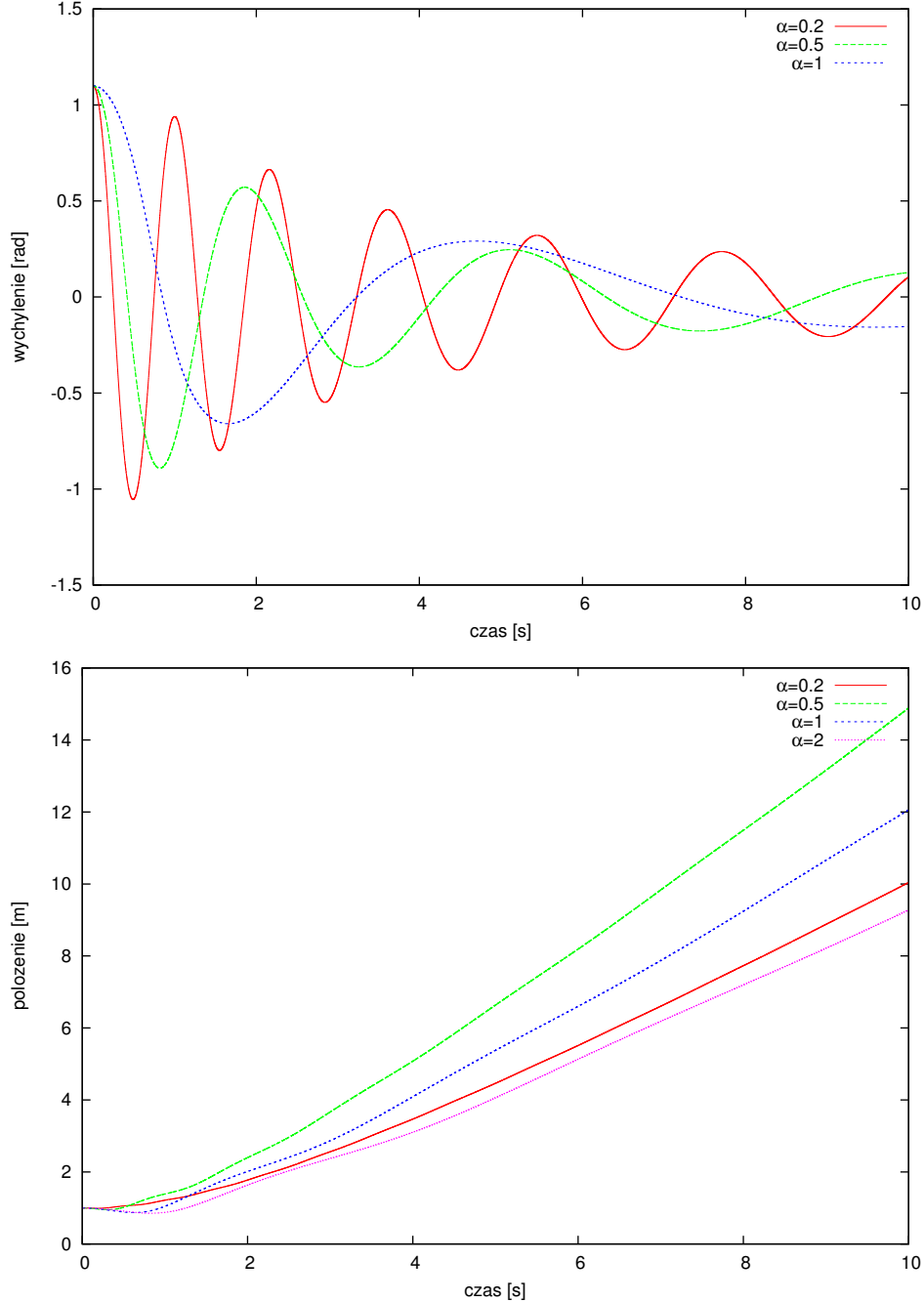
Dla ustalenia odpowiedniego kroku czasowego zbadano wykresy 2 energii całkowitej układu od czasu. Energia ta powinna być stała. Dla kroku czasowego  $\Delta t = 0,0001$  s warunek ten jest dobrze spełniony i ten krok wybrano do symulacji.



Rysunek 2: Wykres energii całkowitej układu w funkcji czasu dla różnych  $\Delta t$ . Pozostałe parametry:  $\alpha = 0,5$ ,  $\varphi_0 = 1,1$ ,  $\omega_0 = 0$  rad/s,  $z_0 = 1$  m,  $v_0 = 0$  m/s.

Sporządzono wykresy przedstawiające zależność  $\varphi$  oraz  $z$  od czasu dla różnych kątów rozwarcia stożka [3] oraz prędkości [4 i 5].

Można zauważyć, iż ze wzrostem kąta rozwarcia stożka  $2\alpha$  szybkość zmian współrzędnej  $\varphi$  maleje. Natomiast dla współrzędnej  $z$  obserwujemy, iż najstrome nachylenie występuje dla  $\alpha$  pośredniego. Można spodziewać się, że istnieje tutaj taki kąt, dla którego cząstka najszybciej oddala się od wierzchołka stożka. Wyznaczono, iż dla warunków początkowych  $\varphi_0 = 1,1$ ,  $\omega_0 = 0$  rad/s,  $z_0 = 1$  m,  $v_0 = 0$  m/s, kąt ten wynosi około 0.621. Jego wartość zmienia przy zmianie warunków początkowych.

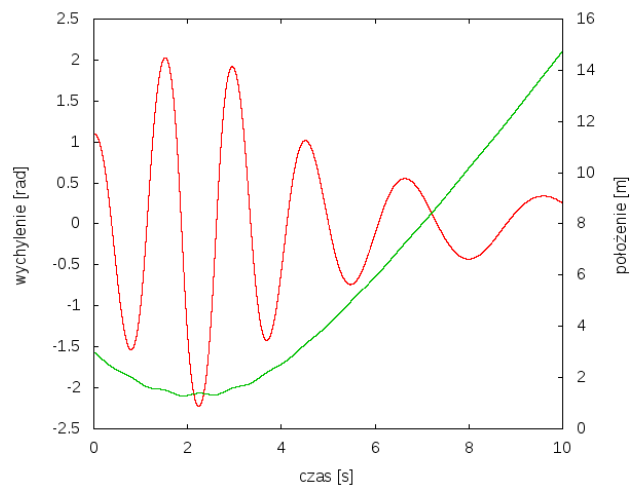


Rysunek 3: Zależność trajektorii dla różnych wartości parametru  $\alpha$ . Pozostałe parametry:  $\varphi_0 = 1,1$ ,  $\omega_0 = 0$  rad/s,  $z_0 = 1$  m,  $v_0 = 0$  m/s.

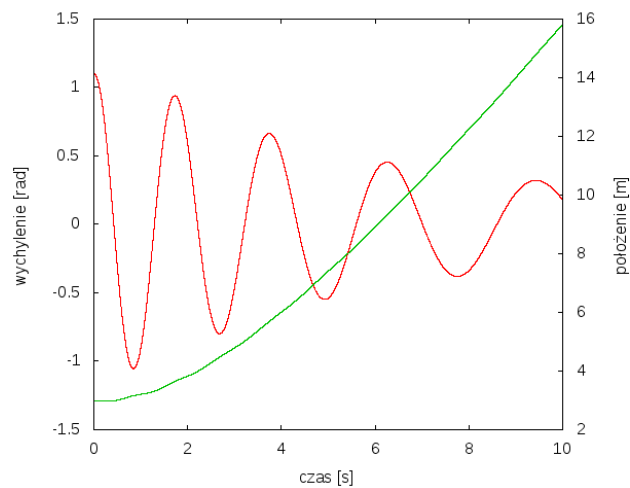
Patrząc na wykresy  $z = z(t)$  dla niezerowych prędkości początkowych można zauważyć podobieństwo dla krótkich  $t$  pomiędzy wykresami 4a i 5c oraz 5a i 4c. W rozpatrywanych przypadkach przy odpowiednio długim czasie, ciało oddala się od czubka stożka, a oscylacje współrzędnej  $\varphi$  zmniejszają swoją amplitudę.

## Podsumowanie

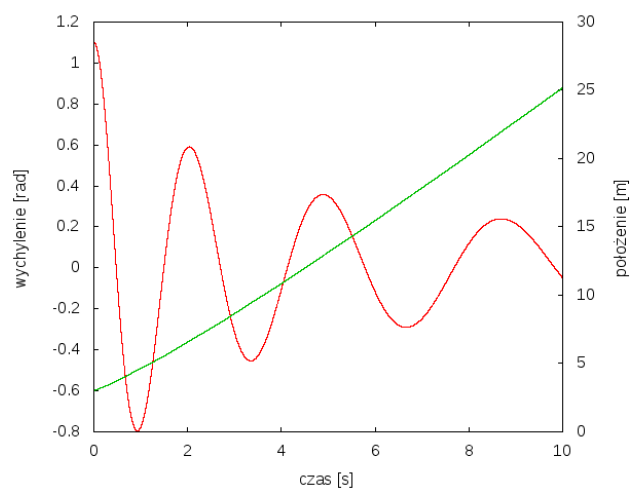
Numeryczne rozwiązanie tego problemu pozwala nam określić trajektorię po jakiej porusza się ciało. W początkowej fazie ruchu układ jest bardzo wrażliwy na warunki początkowe. Mimo to w każdym z symulowanych przypadków, po pewnym czasie ciało porusza się wzdłuż osi  $z$  z pewną, w przybliżeniu stałą prędkością, a wachania  $\varphi$  stają się mniejsze (ale nie znikają). Ponadto zaobserwowano, iż szybkość oddalania się od czubka stożka nie zależy w sposób monotoniczny od kąta rozwarcia.



(a)  $v_0 = -1,5 \text{ m/s}$

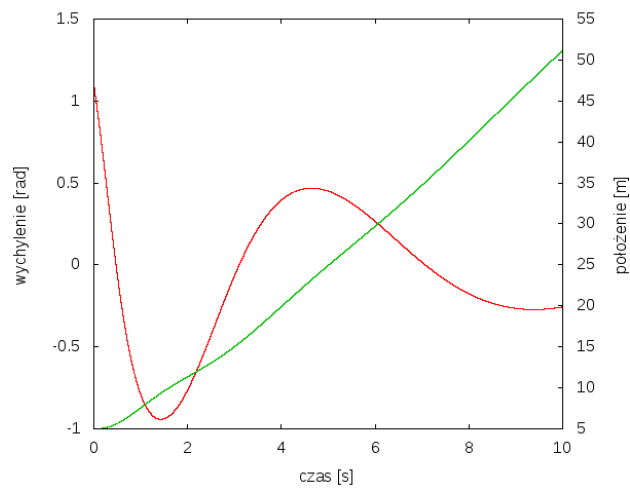


(b)  $v_0 = 0 \text{ m/s}$

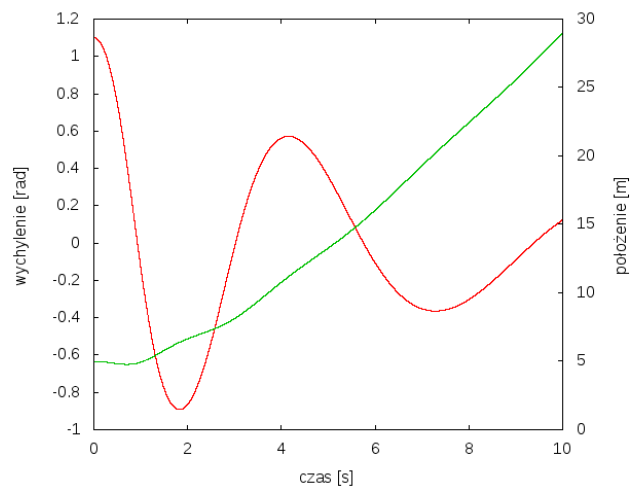


(c)  $v_0 = 1,5 \text{ m/s}$

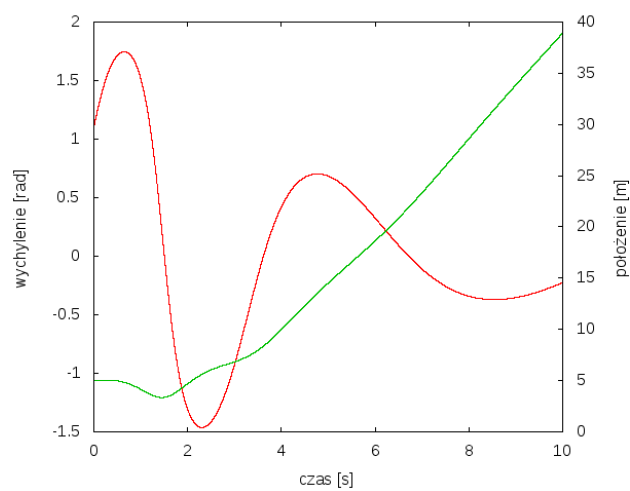
Rysunek 4: Zależność trajektorii dla różnych wartości parametru  $v_0$ . Położenie  $z$  przedstawione jest kolorem zielonym, natomiast wychylenie  $\varphi$  kolorem czerwonym. Pozostałe parametry:  $\alpha = 0,2$ ,  $\varphi_0 = 1,1$ ,  $\omega_0 = 0 \text{ rad/s}$ ,  $z_0 = 3 \text{ m}$ .



(a)  $\omega_0 = -2 \text{ rad/s}$



(b)  $\omega_0 = 0 \text{ rad/s}$



(c)  $\omega_0 = 2 \text{ rad/s}$

Rysunek 5: Zależność trajektorii dla różnych wartości parametru  $\omega_0$ . Położenie  $z$  przedstawione jest kolorem zielonym, natomiast wychylenie  $\varphi$  kolorem czerwonym. Pozostałe parametry:  $\alpha = 0,5$ ,  $\varphi_0 = 1,1$ ,  $v = 0 \text{ m/s}$ ,  $z_0 = 5 \text{ m}$ .